

## ベンダーエレメント試験によるバイカル粘土のせん断剛性率

山口大学大学院	学生会員 ○宮北志野
山口大学大学院	正会員 兵動正幸
清水建設技術研究所	正会員 西尾伸也
北見工業大学	正会員 山下 聰
東京大学大学院	正会員 山田 卓

1.はじめに せん断波速度や初期せん断剛性率は、室内および原位置いずれにおいても計測可能な物性であり、動的な情報を与えるだけでなく、他の土質定数との相関を得る上でも重要なパラメータであると考えられる。山田ら<sup>1)</sup>は、これまで種々の塑性を有する粘土や砂粘土混合土についての動的変形に関する一連の実験を行ってきた。また、北見工大、清水建設および筆者らのグループは、メタンハイドレートを含む地盤の調査のため、ロシアのバイカル湖において湖底表層から土試料を採取し、一連の調査実験を行っている<sup>2)</sup>。本研究では、その中の一つのコア試料について、三軸セル内でベンダーエレメント試験(BE試験)を行い、せん断波速度Vsおよびせん断剛性率Gを求め、山田らの行ったわが国の海成粘土のものと比較し考察を行ったものである。

2. 試料採取現場の概況および試料 バイカル湖は、中央シベリアの南西部に位置し、世界の淡水の20%を蓄える湖である。最大透明度は40mを超えるとも言われ、その大きさは、長さ639km、幅は最大で80km、平均48km、湖面積は4万6000km<sup>2</sup>で琵琶湖の約64倍、深さは最大1643m、平均で730mというまるで海のような淡水湖である。今回用いた湖成粘土は、このバイカル湖で2005年に採取した不搅乱試料である。船上より、長さ5m、総重量約700kgの重力式コアサンプラーを船上からウインチでつないで湖底に落下させて試料の採取を行った。サンプリングは、バイカル湖でも表層型のメタンハイドレートが存在する水深1000m超の泥火山において、エコーサウンダーにより水やガスの湧出により発生するとされるガスフレアを確認し、その付近で行った。いくつかのコアでメタンハイドレートが確認されたが、今回用いたコア試料は、メタンハイドレートが含まれないものを持ち帰ったものである。しかしながら、メタンハイドレートが存在する付近での試料であり、メタンハイドレート分解によるガスの移動など少なからずその影響を受けているものと推察される。湖底から深度方向に3mまでのコア試料より、100cm毎に供試体を作成しBE試験を行った。一方、海成粘土は、日本の港湾で採取した粘土<sup>1)</sup>を搅拌し、予圧密セルで3t法により再構成したものである。採取地点はそれぞれ、Ariake A: 熊本県緑川河口、Ariake C: 佐賀県六角川河口、Itukaichi: 広島県五日市港、Onoda: 山口県小野田港である。各試料の物理的性質を表1に、バイカル粘土(Baikal Clay)の粒径加積曲線を図1に示す。バイカル粘土は3mの長さをもつ1本のコア試料であり、100, 200, 300はそれぞれの湖底からの深さ(cm)を意味する。それらの土粒子比重Gsは、海成粘土と比べ大きい値を示している。また細粒分含有率FC、粘土分含有率PCおよび粒径加積曲線が示すように、有明、五日市に比べPCが低いが、塑性指数からは中塑性粘土とみなされることから、バイカル粘土は活性の高いスマクタイト成分をより多く含んでいるものと推察される。また、SEMによる観察から珪藻遺骸も発見されたが、浅い部分にしか見られなかった。Baikal100の比重が他より小さいのは、珪藻遺骸の影響かも知れないと思われる。また、供試体作成のため、試料をトリマーおよび直ナイフを用いて直径50mm、高さ100mmとなるように整形した。その際、肉眼の観察において空隙が多く見られた。またその空隙は、試料の深さが増すほど多く見られた。これは泥火山における水やガスの湧出によるものかと想像される。

表1. 各試料の物理的性質

試料名	Gs	FC(%)	PC(%)	w <sub>L</sub> (%)	w <sub>P</sub> (%)	I <sub>P</sub>
Ariake A	2.604	98.3	75.2	89.09	41.36	47.73
Ariake C	2.593	100.0	61.5	155.34	44.33	111.01
Itsukaichi	2.691	98.6	77.0	109.59	34.54	75.05
Iwakuni	2.610	98.0	38.8	77.34	29.80	47.54
Onoda	2.601	84.5	37.5	84.04	35.70	48.34
Baikal 100	2.640	100.0	54.3	73.92	29.48	44.44
Baikal 200	2.748	100.0	35.3	83.40	33.38	50.03
Baikal 300	2.700	98.0	26.3	61.71	24.19	37.53

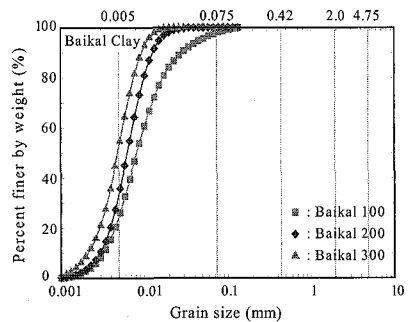


図1.バイカル粘土の粒径加積曲線

**3. 試験条件および結果の整理方法** BE 試験は、三軸試験機を用いて等方圧力状態で有効拘束圧  $\sigma'_c = 50, 100, 200\text{kPa}$  で行った。試料の圧密前に  $b$  値検定を行ったところ、いずれも 0.96 以上を示し飽和状態と判断された。下部ペデスタルからの送信波として、正弦波で電圧 : 10V、周波数 : 2.5~30kHz を用いた。得られた送受信波電圧時刻歴より伝達時間  $\Delta t(\text{sec})$  を求め、せん断波速度  $V_s = L/\Delta t(\text{m/sec})$  よりせん断剛性率  $G = \rho_t \cdot V_s^2$  を算定した。ここで、 $L$  : ベンダー要素先端間の距離(m)、 $\rho_t$  : 濃度(kg/cm<sup>3</sup>)である。

**4. 実験結果と考察** 図 2 は、三軸試験における等方圧密時の間隙比  $e$  と有効拘束圧  $\sigma'_c$  の関係を示す。バイカル粘土の等方応力載荷に対する  $e$  の変化は小野田粘土および岩国粘土等とほぼ同程度を示しており、他の粘土と同等の圧縮性を有していることを示している。図 3 は、有効拘束圧  $\sigma'_c = 100\text{kPa}$  における、BE 試験および中空ねじり繰返し単純せん断試験 (CTS 試験) より得られたせん断波速度  $V_s$  と間隙比  $e$  の関係を示す。バイカル粘土は、他の粘土に比べて  $V_s$  が高くなっていること、これは深い湖底での長期間の堆積による年代効果によるものと考えられる。図 4 は、せん断剛性率  $G$  と平均有効主応力  $\sigma'_m$  の関係を示す。バイカル粘土の  $G$  は他の粘土よりもかなり高い値を示すが、その傾きは同程度となった。 $G$  の拘束圧依存性は他の粘土とほぼ同程度で、 $\sigma'_m$  と比例関係を示している。図 5 は、平均有効主応力  $\sigma'_m = 100\text{kPa}$  における、せん断剛性率  $G$  と塑性指数  $I_p$  の関係を示す。今回のコア試料の中にも塑性指数の違いがあるが、この関係より、他のデータ同様、 $I_p$  が低い程  $G$  は高くなる傾向が認められる。「港湾の施設および技術上の基準・同解説」において、善ら<sup>3)</sup> の提案した式を用いると  $I_p \geq 30$  の粘性土の  $G$  は平均有効主応力  $\sigma'_m$  が一定であれば  $I_p$  のみで推定できるとされている。図中の直線はこの式から求めた  $\sigma'_m = 100\text{kPa}$  における  $G$  と  $I_p$  の関係を描いたものである。この式は、粘性土の  $G$  が  $I_p$  の低下に伴って直線的に増加することを示している。図のように、この式で与えられる  $G$  は、既存および今回のバイカル粘土の実験結果の下限に位置しており、 $I_p$  のみで  $G$  を推定することは難しいことがうかがえる。図 6 は、平均有効主応力  $\sigma'_m = 100\text{kPa}$  における、せん断剛性率  $G$  と間隙比  $e$  の関係を示す。図中、Hardin-Black<sup>4)</sup>、瀧谷ら<sup>5)</sup>の式による近似曲線を描いた。これらの式によれば海成粘土、バイカル粘土ともに比較的良く近似できることがわかる。一般的に土の  $G$  は拘束圧が等しければ、 $e$  が小さいほど高くなることが知られている。バイカル粘土の場合も例外ではないが、同一の  $e$  においても他の粘土に比べ高い  $G$  の値を示している。

**5. まとめ** バイカル湖底粘土は、他の海成粘土と比べて、せん断波速度  $V_s$  およびせん断剛性率  $G$  が高い値を示す。供試体作成時に見られた空隙が強度になんらかの影響を及ぼしている可能性があり、今後さらに静的な室内試験を行うとともに、土粒子構造など観察などより詳細な調査を続けていく必要がある。

参考文献 1) 山田ら：“広範な粒度と塑性を有する土の動的変形特性”，土木学会論文, No.806/III-73, pp.155-168, 2005. 2) 西尾ら：“バイカル湖における表層型メタンハイドレート”，土木第 61 回年次学術講演会概要集, pp.341-342, 2006. 3) 善ら：“地震応答解析のための土の動的特性に関する実験的研究”，港湾技術研究所, Vol.26, No.1, 1987. 4) Hardin, B.O. and Black, W.L.: Closure to vibration of normally consolidated clay, Proc. of ASCE, Vol.95, SM6, pp.1531-1537, 1969. 5) Sibuya, S. Tanaka, H.: “Estimate of elastic shear modulus in holocene soil deposits”, Soils and Foundations, Vol.36, No.4, pp.45-55, Dec.1996.

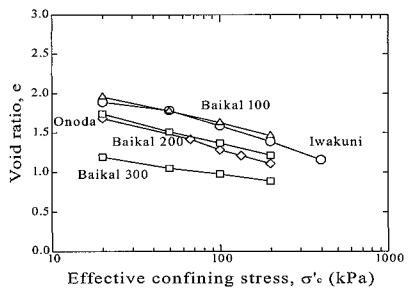


図 2. 間隙比と有効拘束圧の関係

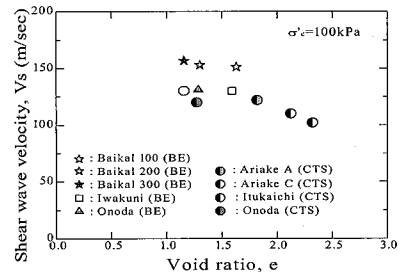


図 3. せん断波速度とせん断剛性率の関係

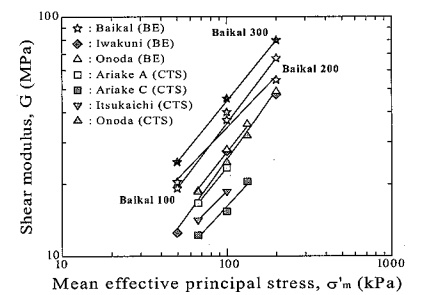


図 4. せん断剛性率と平均有効主応力の関係

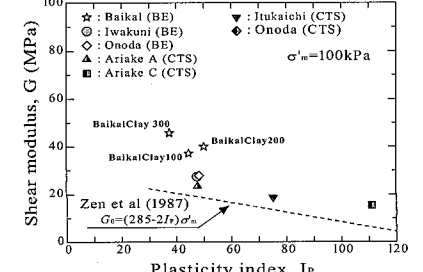


図 5. せん断剛性率と塑性指数の関係

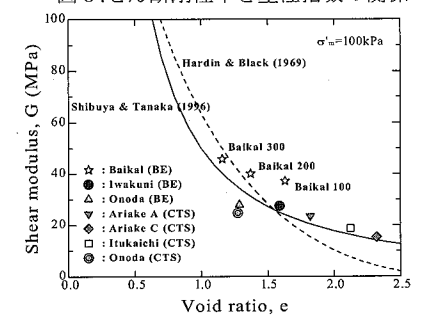


図 6. せん断剛性率と間隙比の関係